

«случайно» равен времени изменения  $\varphi$  на  $2\pi$ , что и означает замкнутость кривой; в ОТО это не так. Знаменитое вековое смещение перигелия Меркурия на  $43''$  в столетие есть проявление этой особенности.

При  $1 < E_2 < E_{\max, a_1}$  (см. рис. 10) горизонталь  $E_2 = \text{const}$  справа уходит в бесконечность, а слева упирается в кривую поворота. В этом случае частица приходит из бесконечности и уходит в бесконечность, аналогично гиперболическому движению в ньютоновской теории.

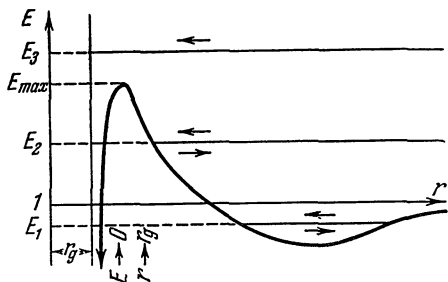


Рис. 10. Потенциальная кривая радиальной составляющей движения в ОТО при фиксированном моменте  $a_1$ .  $E_1 < 1$  — горизонталь финитного движения;  $1 < E_2 < E_{\max}$  — горизонталь гиперболического движения;  $E_3 > E_{\max}$  — частица приближается к гравитационному радиусу и не уходит в бесконечность.

Важной особенностью потенциальной кривой в поле Шварцшильда является наличие максимума. Для частицы с  $E_3 > E_{\max, a_1}$  горизонталь  $E = E_3$  не встречает потенциальной кривой. Такая частица достигает сферы гравитационного радиуса ( $r = 1$  в наших единицах) и не уходит больше в бесконечность. Происходит гравитационный захват частицы. Об этой важ-

ной особенности релятивистской теории подробнее сказано дальше.

Отметим еще следующее любопытное обстоятельство. Если частица имеет энергию лишь немного меньше  $E_{\max}$ , то вблизи точки поворота график правой части в (3.6.1а) подходит к нулю со сколь угодно малым наклоном, т. е. при изменении  $r$  на малую величину  $dr$  частица успевает описать сколь угодно большой угол  $\varphi$ , а значит, вблизи  $r_{\min}$  она может сделать много оборотов, прежде чем снова уйдет на бесконечность. В этом случае вблизи  $r_{\min}$  орбита совсем не похожа на ньютоновскую гиперболу. При  $E = E_{\max}$  траектория будет навиваться на окружность  $r = r_{E_{\max}}$ .

## § 7. Круговые орбиты

Если точка находится в экстремуме кривой  $E(r, a_1)$ , то это означает, что тождественно  $dr \equiv 0$  и частица движется по кругу с  $r = \text{const}$ . Очевидно, что круговое движение в минимуме  $E$  устойчиво: при малом возмущении частица, получив малые изменения  $E$  и  $a_1$ , будет совершать финитное движение (рис. 11), соответствующее  $E = E_{\min} + \delta E_1$  и новой кривой поворота  $E = E(r, a_1 + \delta a_1)$ . Новая траектория мало отличается от прежней окружности.

Движение по окружности  $r_{E_{\max}}$  в максимуме кривой  $E$  неустойчиво; теперь малое возмущение заставит частицу уйти в бесконеч-

ность либо упасть к гравитационному радиусу. Мы видели, что в ньютоновской теории потенциальная кривая при любом  $a$  имеет минимум. Следовательно, в ньютоновской теории для любого  $a$  существует устойчивая круговая орбита. Чем меньше  $a$ , тем ближе орбита расположена к центру. Когда  $a \rightarrow 0$ ,  $r \rightarrow 0$ . В эйнштейновской теории это не так: существует минимальный радиус круговой орбиты, на которой движение уже перестает быть устойчивым, и соответственно минимальная энергия кругового движения. На это обстоятельство впервые обратил внимание Хаджихара (1931) и позже Каплан (1949а). Чтобы убедиться в сказанном, достаточно построить графики  $E = E(r, a)$  для разных  $a$  (рис. 12).

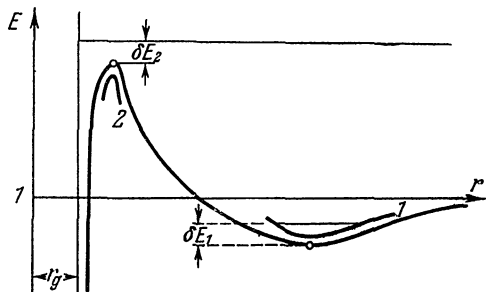


Рис. 11. Движение по круговой орбите в минимуме потенциальной кривой устойчиво, в максимуме — неустойчиво. 1 — потенциальная кривая  $E = E(r, a_1 + \delta a_1)$ ; 2 — потенциальная кривая  $E = E(r, a_2 + \delta a_2)$ . На рисунке изображен случай, когда  $\delta a_1 > 0$ ,  $\delta a_2 < 0$ .

Мы видим, что при  $a < \sqrt{3}$  графики не имеют экстремумов. При  $a > \sqrt{3}$  каждая кривая имеет два экстремума — минимум и максимум (на рис. 12 отмечены вертикальными черточками). Минимумы соответствуют устойчивым орбитам и имеют  $r > 3$ , и соответственно  $\sqrt{8/9} < E_{\min} < 1$ . Координаты максимумов при  $a$ ,

возрастающем от  $\sqrt{3}$  до  $\infty$ , монотонно уменьшаются от  $r = 3$  до  $r = 3/2$ , а энергия  $E_{\max}$  увеличивается от  $E_{\max} = \sqrt{8/9} = 0,943$  до  $E_{\max} = \infty$ .

Таким образом, критическая круговая орбита, на которой движение перестает быть устойчивым, имеет  $r = 3$ . Скорость движений на ней  $v_{\text{круг}} = c/2$ , соответствующая минимальная энергия  $E_{\text{крит}} = 0,943 mc^2$ .

Рис. 12. Потенциальные кривые для разных моментов  $a$ . Цифры около кривых обозначают момент  $a$ , выраженный в единицах  $mc^2/g$ .

Напомним, что для далекого наблюдателя все процессы в гравитационном поле протекают с замедлением в  $\sqrt{g_{00}} = \sqrt{1 - \frac{r_g}{r}}$

раз (см. § 2 и 3). Этот наблюдатель будет видеть движение частицы на критической круговой орбите с периодом

$$T = \frac{12\pi}{\left(\frac{2}{3}\right)^{1/2}} \frac{r_g}{c}.$$

Если на частице находится монохроматический излучатель с частотой  $\omega_0$ , то воспринимаемая наблюдателем частота света (вышедшего вдоль или против  $v$ ) определяется по формуле (см. § 5 гл. 3)

$$\omega = \omega_0 \sqrt{1 - \frac{r_g}{r}} \sqrt{\frac{1 - \frac{v}{c}}{1 + \frac{v}{c}}}.$$

Первый множитель после  $\omega_0$  описывает замедление времени в гравитационном поле, второй — эффект Доплера. Для частицы, движущейся на  $r_{\text{крит}}$ , плоскость орбиты которой проходит через луч зрения наблюдателя, имеем: в момент движения к наблюдателю  $\omega = \sqrt{2}\omega_0$  — фиолетовое смещение; в момент движения от наблюдателя:  $\omega = \frac{\sqrt{2}}{3}\omega_0$  — красное смещение; для покоящегося источника с тем же  $r_{\text{крит}} = 3r_g$ :  $\omega = \sqrt{\frac{2}{3}}\omega_0$  — красное гравитационное смещение.

Ближе к тяготеющему центру в интервале  $3/2 \leq r \leq 3$  расположены неустойчивые круговые орбиты. Скорость движения по последней из них (неустойчивой) с  $r = 3/2$  равна световой  $v = c$ . Это соответствует бесконечной энергии  $E = \infty$ . Ближе к гравитационному радиусу (напомним, что он соответствует в принятых единицах  $r = 1$ ) вообще нет круговых орбит; это было отмечено еще Эйнштейном.

## § 8. Движение релятивистской частицы в кулоновском поле

Отвлекаясь несколько в сторону, рассмотрим следующую задачу: проанализируем круговое движение заряженной частицы в сильном кулоновском поле. Выводы этой задачи окажутся полезными как аналогия для понимания особенностей строения плотных звезд.

Заряженная частица в сильном поле будет двигаться с релятивистской скоростью. Уравнение движения заряда  $e$  в постоянном поле  $E^*$  записывается в виде

$$\frac{dp}{dt} = e E^*.$$